MÉCANIQUE DES MILIEUX CONTINUS

BS - SGC - EPFL

Lausanne, 26 Janvier 2018

Nom:	
Prénom:	
· ·	

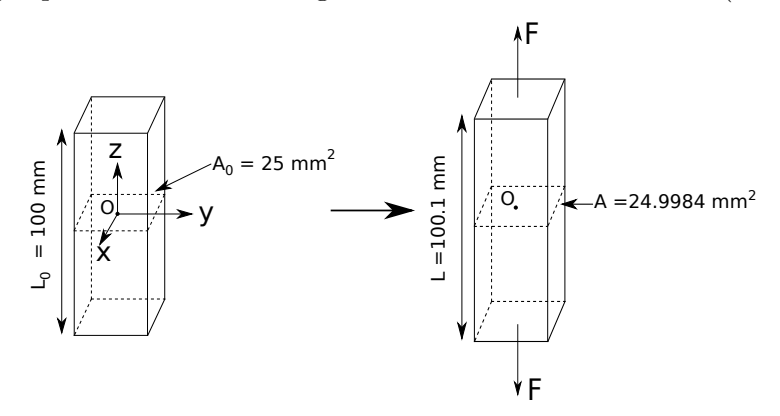
Examen: Partie Pratique

Notes de cours et exercices autorisés 1h30, 34 points (2/3 de la note finale)

Exercice 1 (10 points)

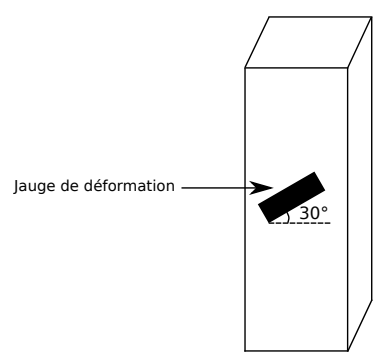
Caractérisation d'une éprouvette à l'aide d'un essai de traction.

On se propose de caractériser une éprouvette en déterminant ses caractéristiques élastiques. Pour cela, on considère une éprouvette de section initiale carré A_0 et de longueur L_0 . Ensuite, à l'aide d'une machine de traction, on applique un effort de traction $F=5\,\mathrm{kN}$ aux extrémités de l'éprouvette. L'éprouvette se déforme de manière homogène jusqu'à atteindre une longueur finale L et une section A (voir figure).



Il n'y a aucun mouvement de corps rigide (l'origine du système d'axes est au centre de gravité de l'éprouvette, et reste fixe suite à la déformation). Le poids propre est négligé. L'éprouvette est constitué d'un matériau isotrope homogène élastique linéaire.

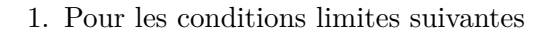
- 1. Expliciter avec les données géométriques du problème le champ de déplacement u(x, y, z). (2 points)
- 2. Déterminer les composantes du tenseur des déformations infinitésimales. (2 points)
- 3. Déterminer les composantes du tenseur des contraintes. (2 points)
- 4. Trouver le module de Young E et le module de Poisson ν . De quel matériau s'agit-il à votre avis? (2 points)
- 5. Durant cet essai un étudiant a placé une jauge de déformation à 30° (voir figure dessous). Il rapporte que la jauge mesure une valeur de $475 \cdot 10^{-6}$. Cette valeur est-elle correcte? (2 points)



Exercice 2 (16 points)

Cylindre creux sans cisaillement.

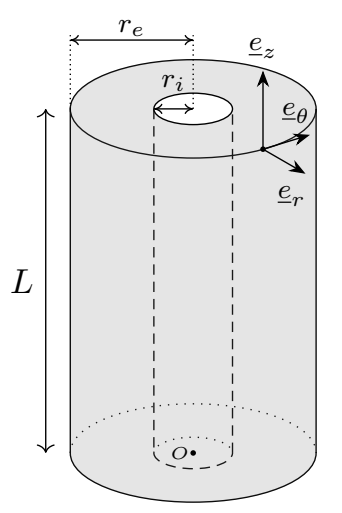
On considère un cylindre creux à base circulaire (voir figure) avec hauteur L, rayon interne r_i , rayon externe r_e et l'origine en O. On utilise des coordonnées cylindriques (système d'axes \underline{e}_r , \underline{e}_θ et \underline{e}_z). Le cylindre est constitué d'un matériau isotrope homogène élastique linéaire. On néglige son poids propre.



$$\underline{t} = \tau_i \, \underline{e}_{\theta}$$
 pour $r = r_i$ tout le long du cylindre (sur S_{int})
 $\underline{t} = -\tau_e \, \underline{e}_{\theta}$ pour $r = r_e$ tout le long du cylindre (sur S_{ext})

avec $\tau_e > 0$ et $\tau_i > 0$:

- (a) Quelle relation doivent vérifier τ_i , τ_e , r_i et r_e pour que l'équilibre macroscopique soit vérifié? (1 point)
- (b) Expliciter quelles composantes des contraintes sont imposées par ces conditions limites. (2 points)



2. Nous intuitons un champ de déplacement de la forme

$$\underline{u}(r) = f(r) \underline{e}_{\theta}.$$

(a) Quelle condition doit vérifier f(r) pour que les équations d'équilibre de Navier soient satisfaites? (3 points)

Remarque : les équations de Navier sont les équations d'équilibre écrites en fonction du champ de déplacement tel que $(\lambda + \mu)\nabla(\text{div}\underline{u}) + \mu\Delta\underline{u} = 0$. Un formulaire mathématique pour coordonnées cylindriques vous est donné.

- (b) Vérifier que f(r) = Ar + B/r (où A et B sont des constantes) est bien solution. (1 point)
- 3. Calculez $\underline{\epsilon}$ puis $\underline{\sigma}$. (3 points)
- 4. Expliciter les conditions aux limites en contraintes. (1 point)
- 5. Tracer le cercle de Mohr de ce problème en un point arbitraire à l'intérieur du cylindre. (1 point)
- 6. A quel r se trouve la contrainte de cisaillement maximale? (1 point)
- 7. On ajoute une traction uniaxiale en appliquant une charge sur les parties S_{sup} (en z=L) et S_{inf} (en z=0) du cylindre :

$$\underline{F} = P \underline{e}_z \quad \text{sur} \quad S_{\text{sup}}
\underline{F} = -P \underline{e}_z \quad \text{sur} \quad S_{\text{inf}}$$

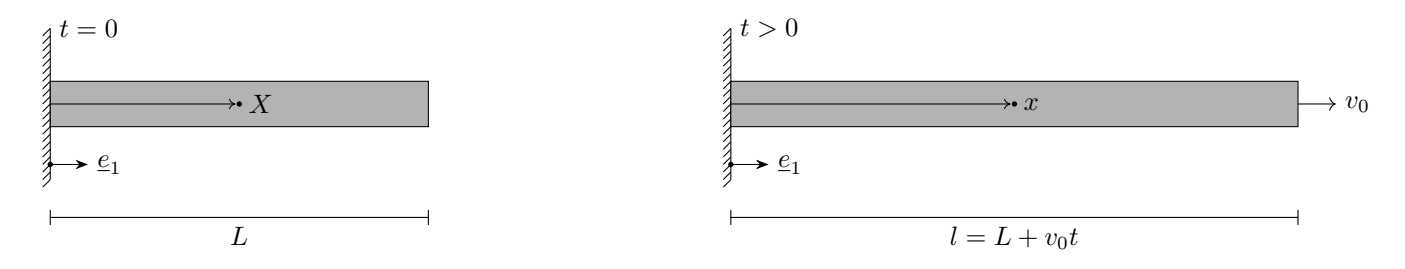
(a) Quelle est le nouveau champ de contrainte? Quel théorème avez-vous utilisé? (2 points)

2

(b) Quelle est la contrainte de cisaillement maximale (tracer le cercle de Mohr)? (1 point)

Exercice 3 (8 points)

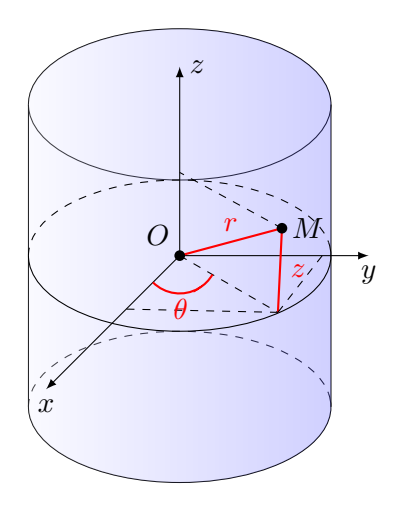
Bande en caoutchouc en grande déformation (problème traité en 1D).



Une bande homogène en caoutchouc a pour longueur initiale L. La bande est fixée à gauche (voir figure). Pour tout temps t, tel que t > 0, la partie droite est tirée à vitesse constante v_0 . Appelons X la position matérielle (de référence) et x la position dans la configuration déformée. Nous observons cette déformation à une position fixe de l'espace.

- 1. Écrivez la position horizontale x d'une particule matérielle en fonction de sa position initiale X et du temps t. (1 point)
- 2. Déduisez la vitesse en fonction de X (vitesse Lagrangienne), puis en fonction de x (vitesse Eulérienne). (1 point)
- 3. Calculez le gradient de déformation F (seulement une composante de F est non nulle; 1D). (1 point)
- 4. Calculez le gradient de vitesse $\nabla \underline{v}$ où \underline{v} est le vecteur vitesse. (1 point)
- 5. Supposez qu'une fourmi marche sur la bande en caoutchouc avec une vitesse v_1 relative à la bande. Calculez l'accélération matérielle de la fourmi en fonction du temps et de la position. (2 points)
- 6. Supposez que la fourmi est à X = x = 0 au temps t = 0. Quel est le temps nécessaire pour que la fourmi atteigne l'autre extrémité de la bande en fonction de L, v_0 et v_1 (étape intermédiaire : sachant que x = FX montrer que $\mathrm{d}X/\mathrm{d}t = v_1/(1+(v_0t/L))$ pour la fourmi)? (2 points)

Annexe: Coordonnées cylindriques



Gradient d'un scalaire f

$$\nabla f = \frac{\partial f}{\partial r} \underline{e}_r + \frac{1}{r} \frac{\partial f}{\partial \theta} \underline{e}_\theta + \frac{\partial f}{\partial z} \underline{e}_z \tag{1}$$

Gradient d'un champ vectoriel \underline{v}

$$\nabla \underline{v} = \begin{bmatrix} \frac{\partial v_r}{\partial r} & \frac{1}{r} \left(\frac{\partial v_r}{\partial \theta} - v_\theta \right) & \frac{\partial v_r}{\partial z} \\ \frac{\partial v_\theta}{\partial r} & \frac{1}{r} \left(\frac{\partial v_\theta}{\partial \theta} + v_r \right) & \frac{\partial v_\theta}{\partial z} \\ \frac{\partial v_z}{\partial r} & \frac{1}{r} \frac{\partial v_z}{\partial \theta} & \frac{\partial v_z}{\partial z} \end{bmatrix}_{(\underline{e_r}, \underline{e_\theta}, \underline{e_z})}$$
(2)

Divergence d'un champ vectoriel \underline{v}

$$\operatorname{div} \underline{v} = \operatorname{tr}(\nabla \underline{v}) = \frac{\partial v_r}{\partial r} + \frac{1}{r} \left(\frac{\partial v_\theta}{\partial \theta} + v_r \right) + \frac{\partial v_z}{\partial z}$$
(3)

Divergence d'un tenseur \underline{T} d'ordre 2

$$\operatorname{div} \underline{\underline{T}} = \begin{pmatrix} \frac{\partial T_{rr}}{\partial r} + \frac{1}{r} \frac{\partial T_{r\theta}}{\partial \theta} + \frac{\partial T_{rz}}{\partial z} + \frac{T_{rr} - T_{\theta\theta}}{r} \\ \frac{\partial T_{\theta r}}{\partial r} + \frac{1}{r} \frac{\partial T_{\theta\theta}}{\partial \theta} + \frac{\partial T_{\theta z}}{\partial z} + \frac{T_{r\theta} + T_{\theta r}}{r} \\ \frac{\partial T_{zr}}{\partial r} + \frac{1}{r} \frac{\partial T_{z\theta}}{\partial \theta} + \frac{\partial T_{zz}}{\partial z} + \frac{T_{zr}}{r} \end{pmatrix}_{(\underline{e}_r, \underline{e}_\theta, \underline{e}_z)}$$
(4)

Remarque : l'expression précédente se simplifie quelque peu dans le cas d'un tenseur symétrique $T_{ij}=T_{ji}$

Laplacien d'un scalaire f

$$\Delta f = \frac{1}{r} \frac{\partial}{\partial r} \left(r \frac{\partial f}{\partial r} \right) + \frac{1}{r^2} \frac{\partial^2 f}{\partial \theta^2} + \frac{\partial^2 f}{\partial z^2}$$
 (5)

Laplacien d'un champ vectoriel \underline{v}

$$\Delta \underline{v} = \left(\Delta v_r - \frac{v_r}{r^2} - \frac{2}{r^2} \frac{\partial v_\theta}{\partial \theta}\right) \underline{e}_r + \left(\Delta v_\theta - \frac{v_\theta}{r^2} + \frac{2}{r^2} \frac{\partial v_r}{\partial \theta}\right) \underline{e}_\theta + (\Delta v_z) \underline{e}_z \tag{6}$$